Реконструкция трехмерной модели сосудов по двум проекциям ангиографии

Данилов Александр Анатольевич ИВМ РАН, Сеченовский университет, МФТИ

XVII конференция "Математические модели и численные методы в биологии и медицине"

Коронарная ангиография в двух проекциях

Дополнительная информация в DICOM файлах

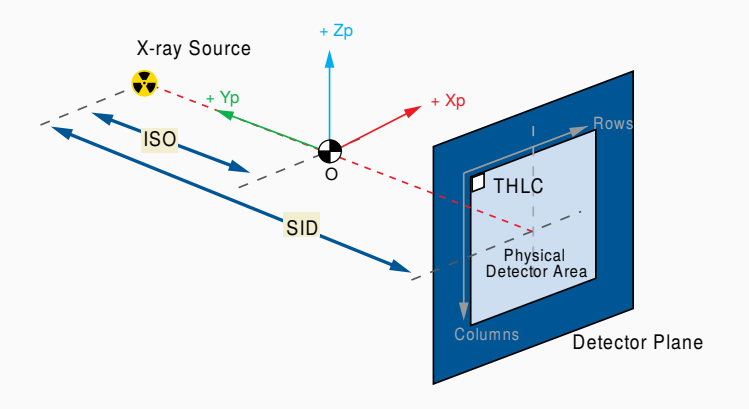
- \cdot DistanceSourceToDetector (0018,1110) расстояние от излучателя до детектора sid
- \cdot DistanceSourceToPatient (0018,1111) расстояние от излучателя до объекта iso
- \cdot PositionerPrimaryAngle (0018,1510) первый угол поворота lpha
- · PositionerSecondaryAngle (0018,1511) второй угол поворота β
- · ImagerPixelSpacing (0018,1164) размеры пикселя в мм на детекторе h_x,h_y
- \cdot Columns (0028,0011) и Rows (0028,0010) размеры детектора в пикселях N_x,N_y

Система координат излучателя-детектора

Ось Y направлена от детектора к излучателю.

Положение излучателя – (0, iso, 0).

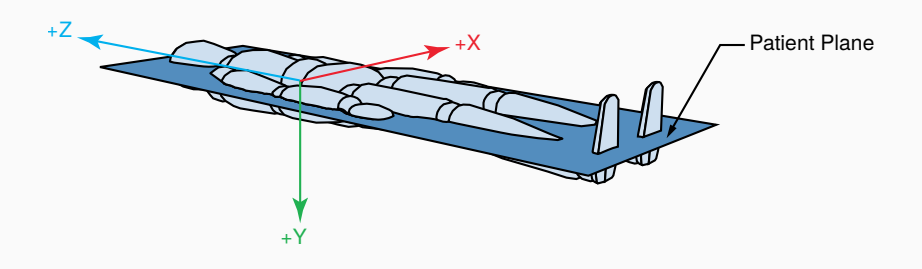
Положение пикселя с координатами (i,j) на детекторе будет иметь координаты $\Big((i-\frac{N_x}{2})h_x, \mathrm{iso}-\mathrm{sid}, (\frac{N_y}{2}-j)h_y\Big).$



DICOM PS3.3 2025d Figure C.8.19.6-5. Positioner Coordinate System

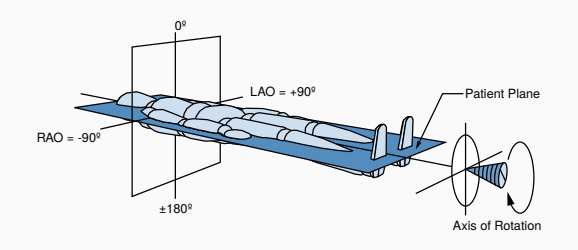
Система координат пациента

Ось X направлена от правой руки к левой, ось Y направлена от груди к спине, ось Z направлена от ног к голове.

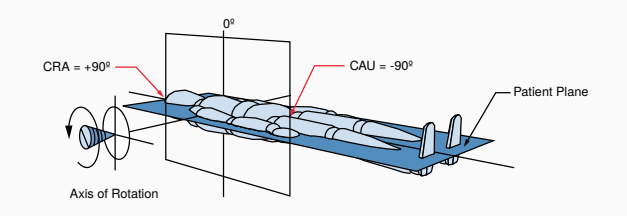


DICOM PS3.3 2025d Figure C.8-10. Table Motion Vector Coordinates

Углы поворота излучателя



DICOM PS3.3 2025d Figure C.8-11. Positioner Primary Angle



DICOM PS3.3 2025d Figure C.8-12. Positioner Secondary Angle

Переход из одной системы координат в другую

Для перехода в систему координат пациента используем матрицу поворота R:

$$R = R_Z(\alpha)R_X(-\beta) = \begin{pmatrix} \cos \alpha & -\sin \alpha \cos \beta & -\sin \alpha \sin \beta \\ \sin \alpha & \cos \alpha \cos \beta & \cos \alpha \sin \beta \\ 0 & -\sin \beta & \cos \beta \end{pmatrix}$$

Положение излучателя в системе координат пациента будет иметь вид:

$$p_{\text{source}} = R \begin{pmatrix} 0 \\ \text{iso} \\ 0 \end{pmatrix}$$

Положение пикселя (i,j) на детекторе в системе координат пациента:

$$p_{\text{detector}}(i,j) = R \begin{pmatrix} (i - \frac{N_x}{2})h_x \\ \text{iso} - \text{sid} \\ (\frac{N_y}{2} - j)h_y \end{pmatrix}$$

Эпиполярные линии

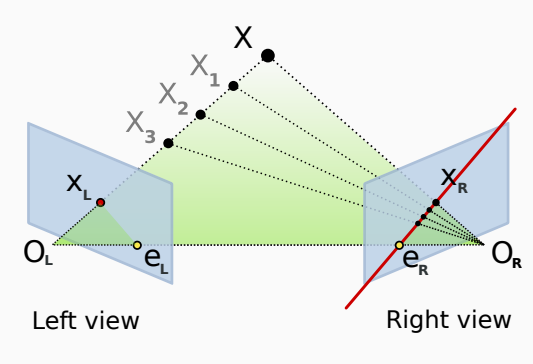
Две проекции под разными углами

 O_L и O_R – положения двух излучателей в системе координат пациента

 X_L – точка на первом детекторе

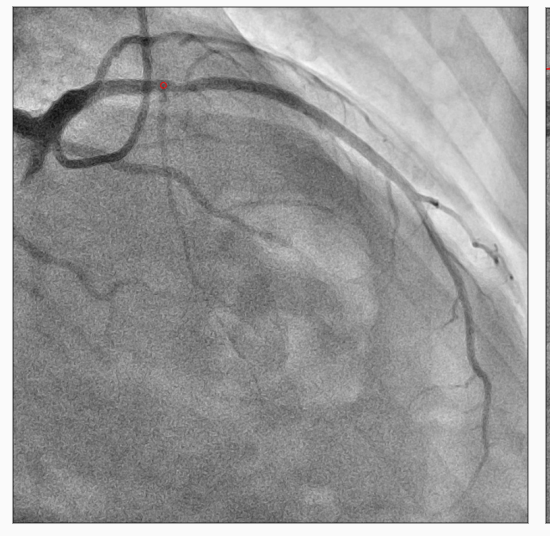
Эпиполярная плоскость – проходит через точки O_L , O_R и X_L

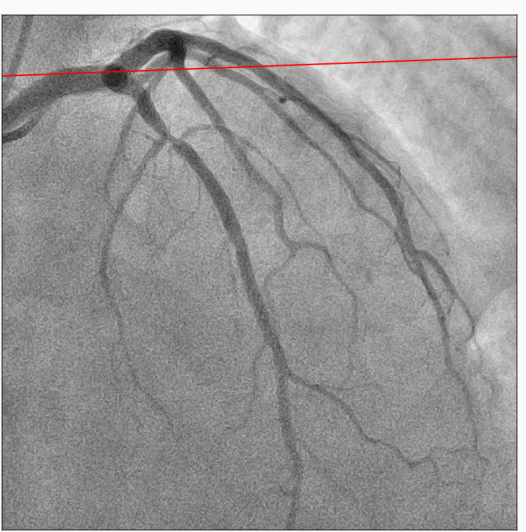
Эпиполярная линия для точки X_L – пересечение эпиполярной плоскости и плоскости детектора



Источник: Arne Nordmann, Wikipedia

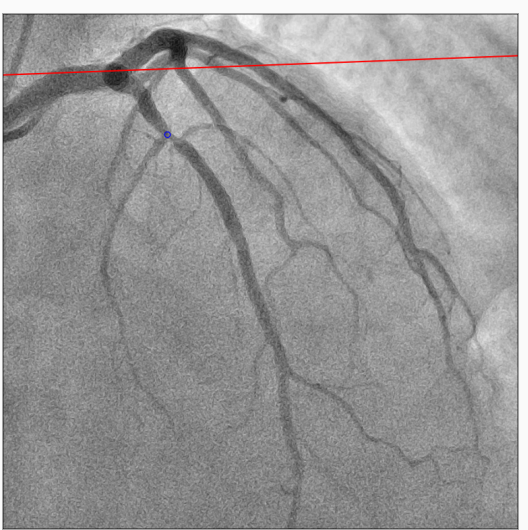
Эпиполярные линии





Эпиполярные линии





Коррекция смещения

Пусть s_1 и s_2 – положения излучателей. Выберем на проекциях одинаковую точку – (i_1,j_1) и (i_2,j_2) . В системе координат пациента это $d_1(i_1,j_1)$ и $d_2(i_2,j_2)$.

В идеале луч из s_1 в $d_1(i_1,j_1)$ и луч из s_2 в $d_2(i_2,j_2)$ пересекаются. На практике – лучи скрещиваются. Расстояние между лучами $d=(s_2-s_1)\cdot n_0$, где $n_0=n/\|n\|$ и $n=(d_1(i_1,j_1)-s_1)\times (d_2(i_2,j_2)-s_2)$.

Скорректируем формулы за счёт смещения:

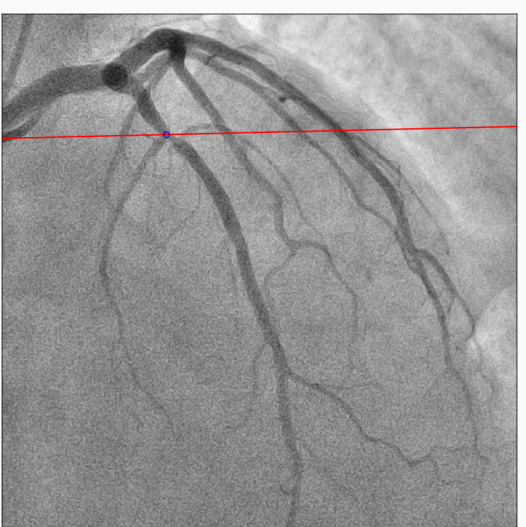
$$p_{\text{source}} = R \begin{pmatrix} 0 \\ \text{iso} \\ 0 \end{pmatrix} + \text{offset}$$

$$p_{\text{detector}}(i,j) = R \begin{pmatrix} (i - \frac{N_x}{2})h_x \\ \text{iso - sid} \\ (\frac{N_y}{2} - j)h_y \end{pmatrix} + \text{offset}$$

где offset $=rac{d}{2}n_0$ для первой проекции и offset $=-rac{d}{2}n_0$ для второй проекции.

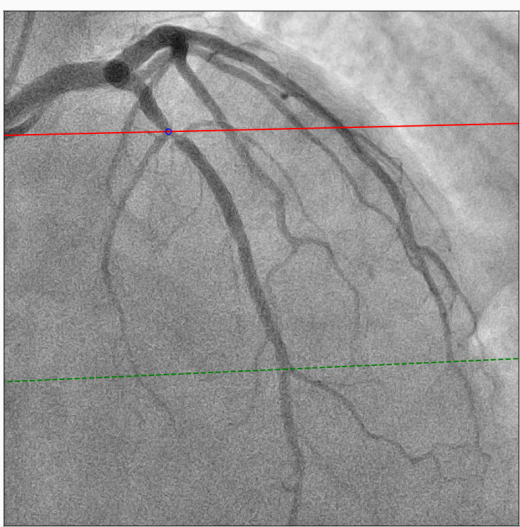
Коррекция смещения



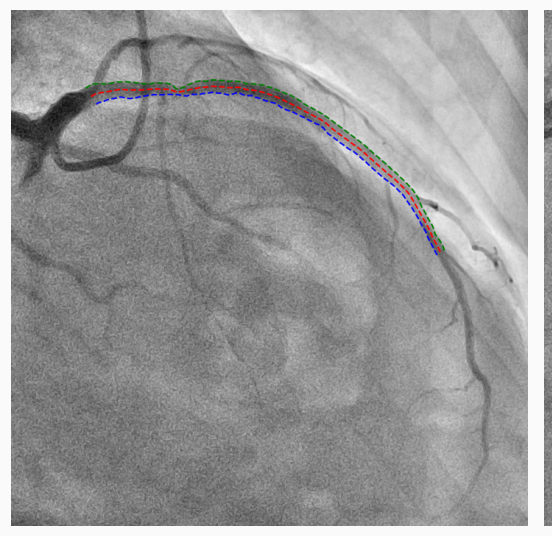


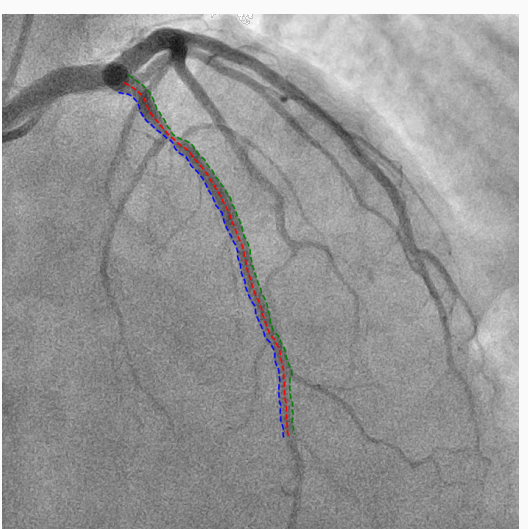
Коррекция смещения





Центральные линии сосудов в двух проекциях





Реконструкция центральной линии в 3D: наивный подход

- Параметризуем центральные линии на левой и правой проекциях
- $c_1(t)$, $c_2(t)$, $t \in [0,1]$ точки на детекторах, s_1 и s_2 излучатели
- · При каждом параметре $t \in [0,1]$ построим пару лучей $s_1c_1(t)$ и $s_2c_2(t)$
- \cdot Пусть c(t) точка "пересечения" этих лучей

$$n = (c_1 - s_1) \times (c_2 - s_2)$$

$$n_1 = (c_1 - s_1) \times n, \quad n_2 = (c_2 - s_2) \times n$$

$$\alpha_1 = (s_2 - s_1) \cdot n_2 / (c_1 - s_1) \cdot n_2, \quad \alpha_2 = (s_1 - s_2) \cdot n_2 / (c_2 - s_2) \cdot n_1$$

$$w_1 = s_1 + \alpha_1 (c_1 - s_1), \quad w_2 = s_2 + \alpha_1 (c_2 - s_2), \quad c = (w_1 + w_2) / 2$$

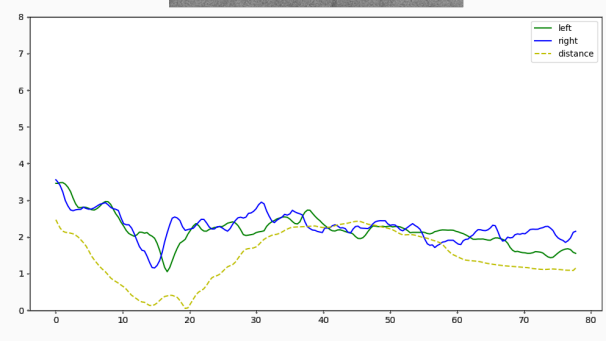
- Центральная линия в 3D c(t), $t \in [0,1]$
- Диаметр сосуда в точке с параметром t вычислим как среднее геометрическое диаметров $d_1(t)$ и $d_2(t)$

Реконструкция центральной линии в 3D: наивный подход









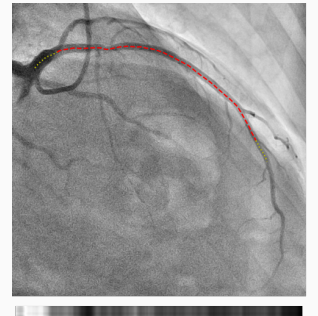
Реконструкция центральной линии в 3D: учёт диаметров

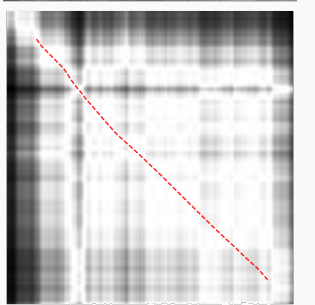
- Попробуем учесть соответствие диаметров на двух проекциях
- \cdot Для каждой пары параметров $t_1, t_2 \in [0,1]$ введём "скорость" $g(t_1, t_2)$

$$g(t_1, t_2) = \frac{1}{1 + \left(\frac{|d_1(t_1) - d_2(t_2)|}{\sigma}\right)^2}$$

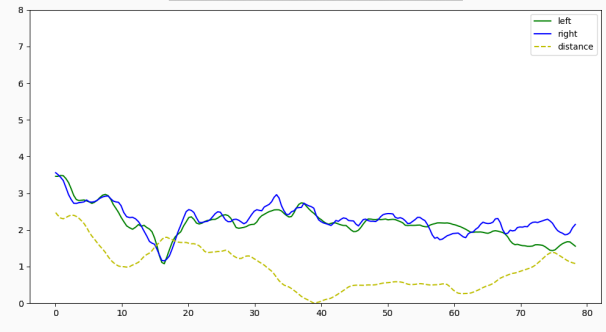
- Найдём кратчайший путь γ из точки (0,0) в (1,1) с учётом "скорости" $g(t_1,t_2)$
- Кратчайший путь задаёт соответствие между точками на проекциях
- \cdot "Пересекаем" лучи $s_1c_1(\gamma_1(t))$ и $s_2c_2(\gamma_2(t))$, где $(\gamma_1(t),\gamma_2(t))$ точки на γ

Реконструкция центральной линии в 3D: учёт диаметров









Реконструкция центральной линии в 3D: учёт расстояния между лучами

- Попробуем учесть соответствие диаметров и расстояние между лучами
- \cdot Для каждой пары параметров $t_1, t_2 \in [0,1]$ введём "скорость" $g(t_1, t_2)$

$$g(t_1, t_2) = \frac{1}{1 + \left(\frac{\|w_1 - w_2\|}{\sigma}\right)^2}$$

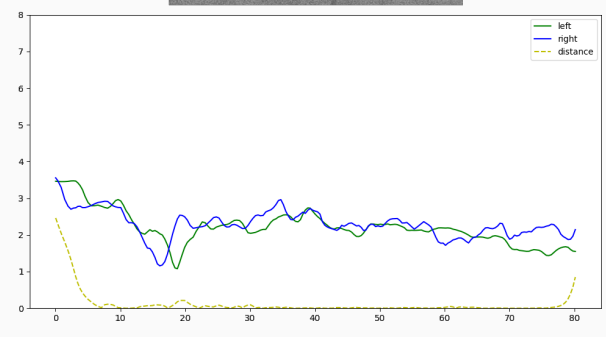
- Найдём кратчайший путь γ из точки (0,0) в (1,1) с учётом "скорости" $g(t_1,t_2)$
- Кратчайший путь задаёт соответствие между точками на проекциях
- \cdot "Пересекаем" лучи $s_1c_1(\gamma_1(t))$ и $s_2c_2(\gamma_2(t))$, где $(\gamma_1(t),\gamma_2(t))$ точки на γ

Реконструкция центральной линии в 3D: учёт расстояния между лучами









Реконструкция центральной линии в 3D

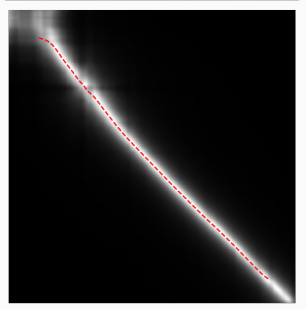
- Попробуем учесть расстояние между лучами
- \cdot Для каждой пары параметров $t_1, t_2 \in [0,1]$ введём "скорость" $g(t_1,t_2)$

$$g(t_1, t_2) = \frac{1}{\left(1 + \left(\frac{|d_1(t_1) - d_2(t_2)|}{\sigma_r}\right)^2\right) \left(1 + \left(\frac{\|w_1 - w_2\|}{\sigma_d}\right)^2\right)}$$

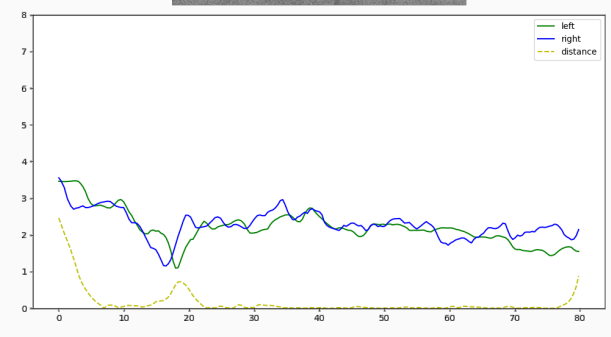
- · Найдём кратчайший путь γ из точки (0,0) в (1,1) с учётом "скорости" $g(t_1,t_2)$
- Кратчайший путь задаёт соответствие между точками на проекциях
- \cdot "Пересекаем" лучи $s_1c_1(\gamma_1(t))$ и $s_2c_2(\gamma_2(t))$, где $(\gamma_1(t),\gamma_2(t))$ точки на γ

Реконструкция центральной линии в 3D









Реконструкция центральной линии в 3D: контрольные точки

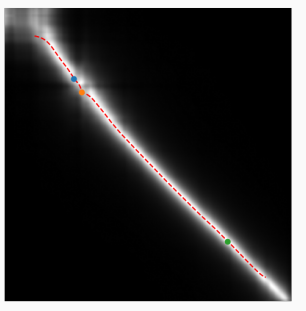
• Отметим одни и те же точки (бифуркации) на проекциях

 \cdot Ищем кратчайший путь из (0,0) в (1,1), проходящий через заданные точки

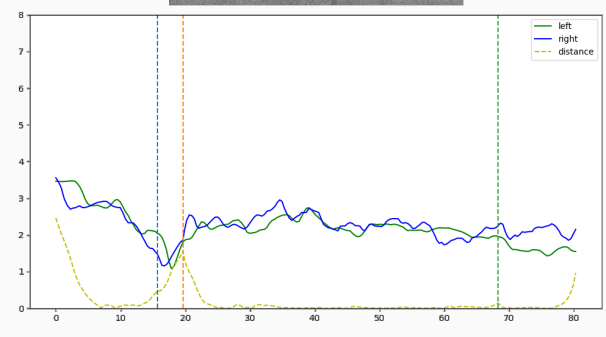
• Все остальные действия остаются те же

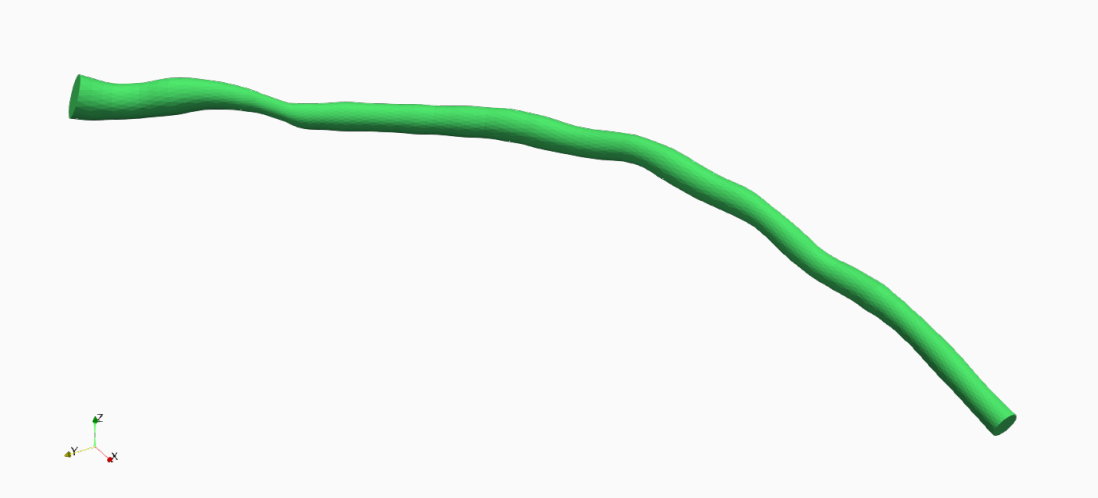
Реконструкция центральной линии в 3D: контрольные точки

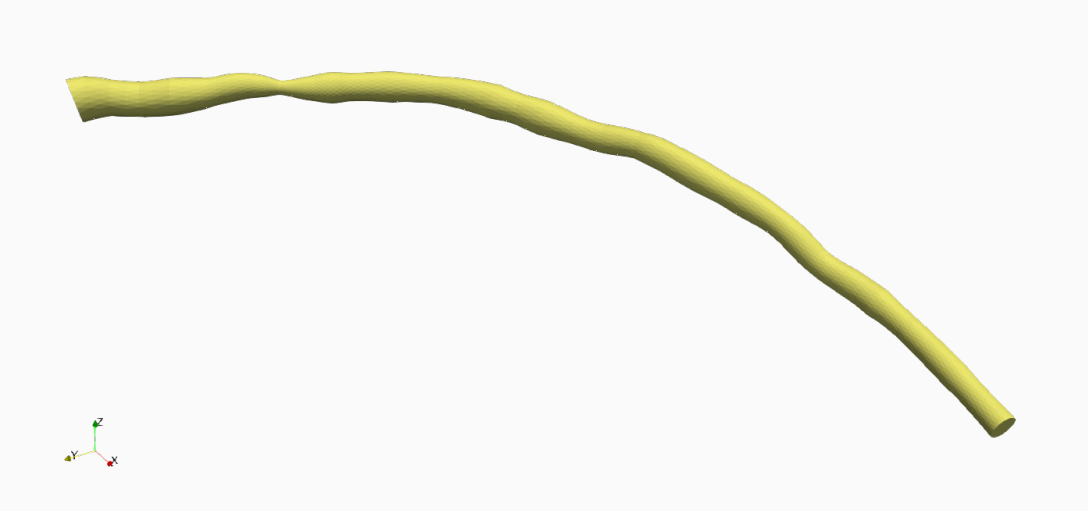




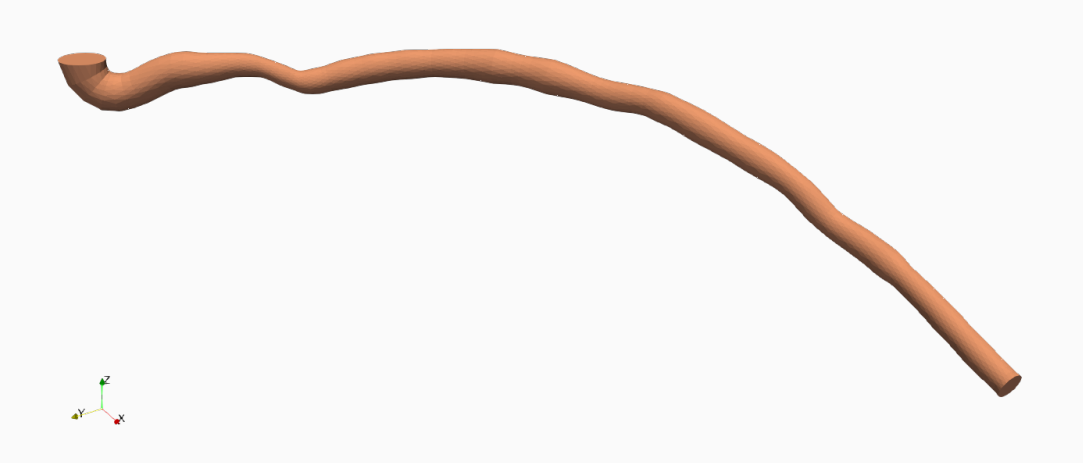




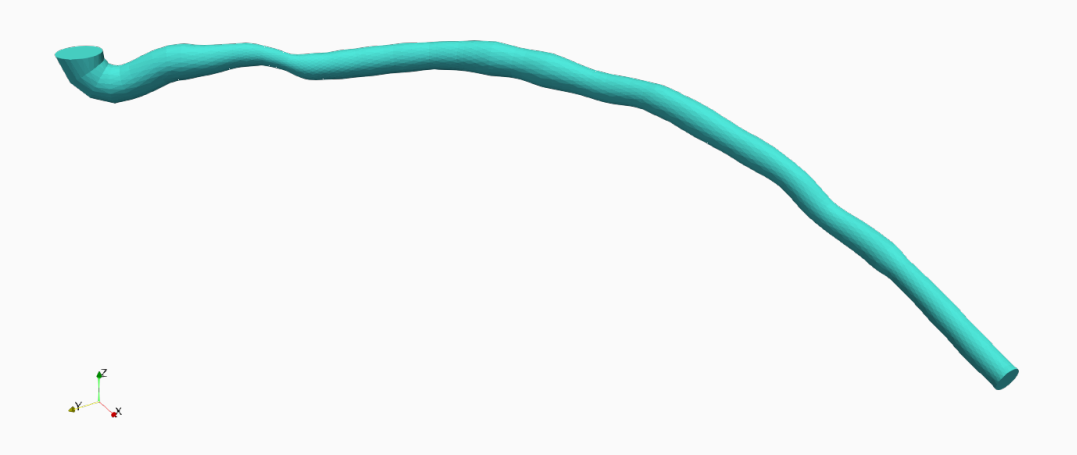




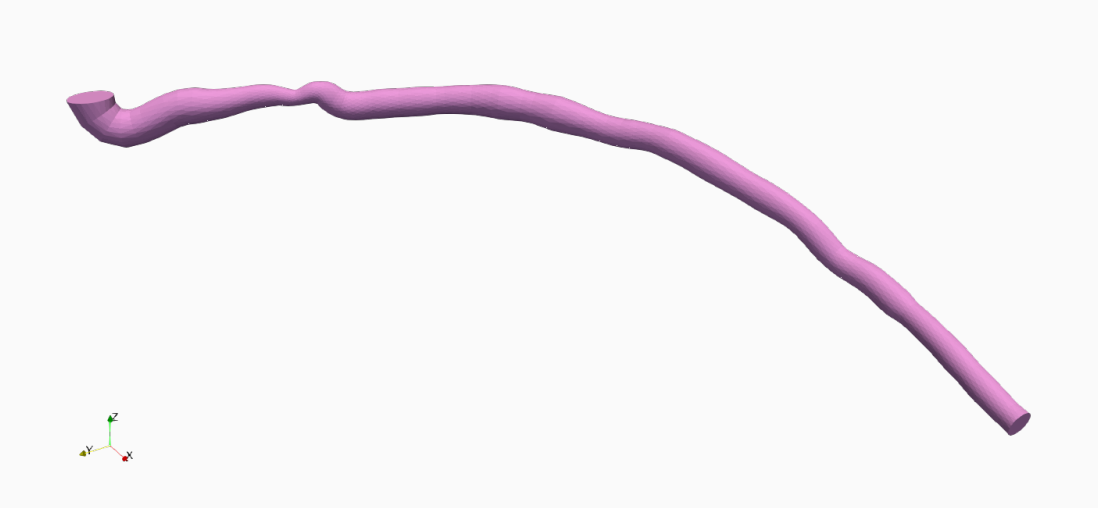
Учёт разности диаметров



Учёт расстояния между лучами



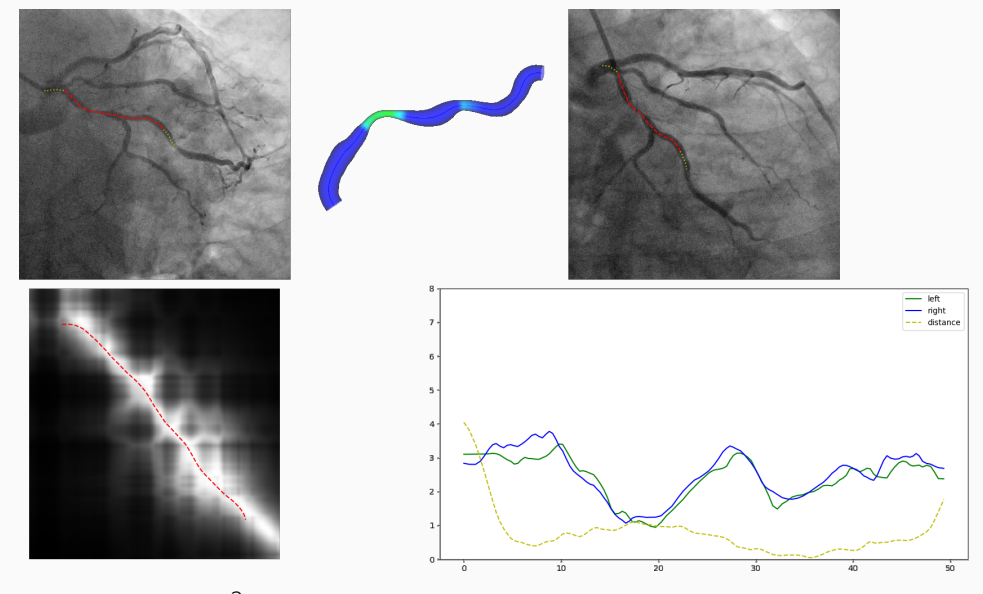
Учёт разности диаметров и расстояния между лучами





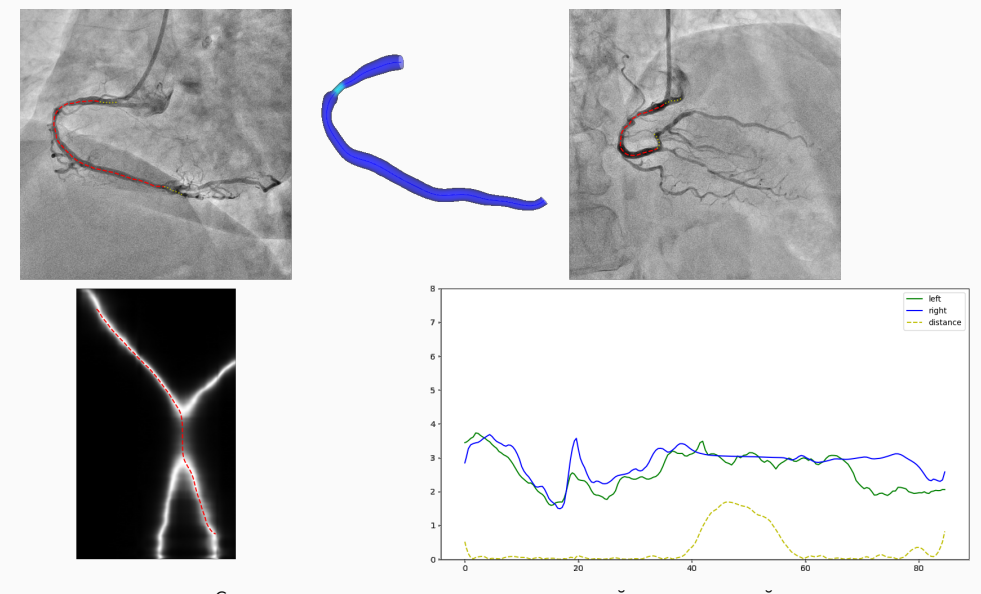
Сравнение всех моделей

Примеры работы на других пациентах



Эпиполярная линия почти параллельна сосуду

Примеры работы на других пациентах



Сосуд почти перпендикулярен одной из проекций

Спасибо за внимание!